

## **Расчетная модель упорного подшипника скольжения с повышенной несущей способностью, работающего на неньютоновских смазочных материалах с адаптированной опорной поверхностью**

**К.С. Ахвердиев, М.А. Мукутадзе, Е.О. Лагунова, К.С. Солоп, А.М. Мукутадзе**

Умение правильно выбирать противоизносные присадки [1–6] позволяет создать смазочные материалы, которые в тонких слоях обладают иными свойствами, чем в больших объемах. Считается, что присадки функционируют лишь в зоне граничной смазки и, тем самым, не входят в область гидродинамической теории смазки. Однако, благоприятное влияние присадок как указывается во многих работах [1-5] имеет место в режиме «тонкого слоя» гидродинамической смазки.

Как известно, подшипники жидкостного трения работают на разных видах смазочных материалов, которые состоят из масляной основы и композиции присадок, обеспечивающих маслу необходимые функциональные свойства. При добавлении полимеров с высоким молекулярным весом масла приобретают вязкоупругие свойства. Анализ существующих работ [7–9], посвященных расчету подшипников скольжения, работающих на вязкоупругой смазке, показывает, что в них не учитывается зависимость вязкости и модуля сдвига от давления и температуры, а режим трения предполагается ламинарным. Как известно [10], высокоскоростные подшипники работают в турбулентном режиме трения, более высоким повышенным давлением и температуры и поэтому разработка методов расчета подшипников скольжения, работающих на вязкоупругой смазке требует учета выше указанных факторов.

В связи с выше написанным приведем сначала разработку расчетной модели упорных подшипников, работающих на микрополярной смазке с учетом вязкостных характеристик этих смазок от давления в отличие от

существующих расчетных моделей, не учитывающих этих зависимостей (задача 1).

А затем рассмотрим расчетную модель упорного подшипника повышенной несущей способности, работающего на вязкоупругой смазке с учетом зависимости ее характеристик от давления (задача 2).

**1. Постановка задачи 1.** Рассмотрим установившееся движение жидкости, обладающей микрополярными свойствами, в зазоре упорного подшипника (между ползуном и направляющей). Предполагается, что ползун неподвижен, а направляющая движется со скоростью  $u^*$  по направлению оси  $Ox'$  (рис. 1.1). Также предполагается, что вязкостные характеристики микрополярной жидкости зависят от давления

$$\mu' = \mu_0 e^{\tilde{\alpha} p'}, \kappa' = \kappa_0 e^{\tilde{\alpha} p'}, \gamma' = \gamma_0 e^{\tilde{\alpha} p'} \quad (1.1)$$

Здесь  $\mu_0$  – характерная вязкость ньютоновской смазки;  $\kappa_0$  и  $\gamma_0$  – характерные вязкости микрополярной смазки;  $p'$  – гидродинамическое давление;  $\tilde{\alpha}$  – экспериментальная постоянная величина.

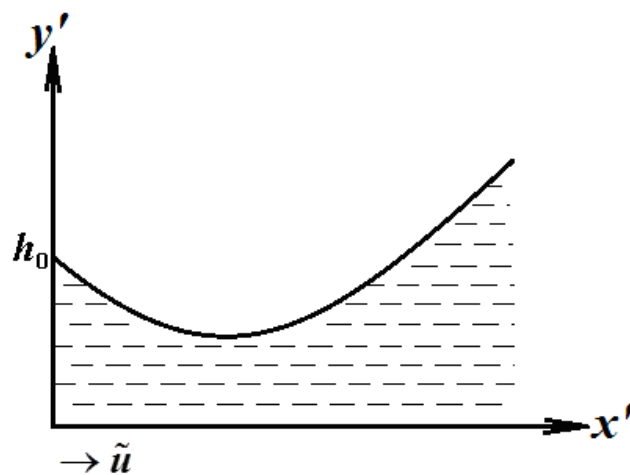


Рис. 1.1 Схематическое изображение пары трения «ползун-направляющая» с адаптированным профилем ползуна

В декартовой системе координат  $x'Oy'$  уравнение контура направляющей и ползуна можно записать в виде:

$$y' = 0, \quad y' = h_0 + x' \operatorname{tg} \alpha - a \sin \omega' x', \quad (1.2)$$

где  $\alpha$  – угол наклона ползуна с линейным контуром к оси  $Ox'$ ;  $L \frac{\operatorname{tg} \alpha}{h_0}$  и  $\frac{a}{h_0}$  будем считать малыми величинами одного порядка;  $\omega = \omega' L$  – подлежит определению.

## 2. Основные уравнения и граничные условия задачи 1.

Учитывая зависимость вязкости от давления в качестве основных уравнений рассмотрим систему безразмерных уравнений движения смазочного материала, обладающего микрополярными свойствами, для «тонкого слоя» с учетом (1.1) и уравнение неразрывности

$$\frac{\partial^2 u}{\partial y^2} + N^2 \frac{\partial v}{\partial y} = \frac{1}{e^{\alpha p}} \frac{dp}{dx}, \quad \frac{\partial^2 v}{\partial y^2} = \frac{v}{N_1} + \frac{1}{N_1} \frac{\partial u}{\partial y}, \quad \frac{\partial u}{\partial x} + \frac{\partial v}{\partial y} = 0 \quad (1.3)$$

Приведем связь размерных величин  $u', v', v', p', x', y', \mu', \kappa', \gamma'$  с безразмерными величинами  $u, v, v, p, x, y, \mu, \kappa, \gamma$ :

$$\begin{aligned} u' &= u^* u, \quad v' = u^* \varepsilon v, \quad v' = v^* v, \quad p' = p^* p, \quad \mu' = \mu_0 \mu, \\ x' &= Lx, \quad y' = h_0 y, \quad \kappa' = \kappa_0 \kappa, \quad \gamma' = \gamma_0 \gamma, \quad p^* = \frac{(2\mu_0 + x_0) h u^*}{2h_0^2}, \\ \varepsilon &= \frac{h_0}{l}, \quad v^* = \frac{u^*}{2h_0}, \quad N^2 = \frac{x_0}{2\mu_0 + x_0}, \quad N_1 = \frac{l^2}{h_0^2}, \quad l^2 = \frac{\gamma_0}{4\mu_0}. \end{aligned} \quad (1.4)$$

Здесь  $L$  – длина ползуна;  $v'$  – скорость микровращения;  $u', v'$  – компоненты вектора скорости.

$$\text{Обозначим } z = e^{-\alpha p}, \text{ тогда } \frac{1}{e^{\alpha p}} \frac{dp}{dx} = -\frac{1}{\alpha} \frac{dz}{dx}.$$

Учитывая, что параметр  $N_1 \gg 1$  решение задачи (1.3)-(1.5) будем искать в виде рядов по степеням малого параметра  $\frac{1}{N_1}$

$$u = \sum_{k=0}^{\infty} \frac{1}{N_1^k} u_k, \quad v = \sum_{k=0}^{\infty} \frac{1}{N_1^k} v_k, \quad z = \sum_{k=0}^{\infty} \frac{1}{N_1^k} z_k, \quad v = \sum_{k=0}^{\infty} \frac{1}{N_1^k} v_k. \quad (1.6)$$

Подставим (1.6) в (1.3), тогда для нулевого приближения получим систему уравнений и граничных условий к ним

$$\frac{\partial^2 u_0}{\partial y^2} = -\frac{1}{\alpha} \frac{dz_0}{dx}, \quad \frac{\partial u_0}{\partial x} + \frac{\partial v_0}{\partial y} = 0, \quad v_0 = 0 \quad ; \quad (1.7)$$

$$u_0 = 0, \quad v_0 = 0 \quad \text{при} \quad y = 1 + \eta x - \eta_1 \sin \omega x$$

$$u_0 = 1, \quad v_0 = 0, \quad \text{при} \quad y = 0, \quad z(0) = z(1) = e^{-\alpha \frac{p_a}{p^*}}. \quad (1.8)$$

Для задач (1.7)-(1.8) автомодельное решение ищем в явном виде

$$u_0 = \frac{\partial \psi_0}{\partial y} + U_0(x_0, y_0), \quad v_0 = -\frac{\partial \psi_0}{\partial y} + V_0(x_0, y_0), \quad U_0(x_0, y_0) = \tilde{u}_0(\xi),$$

$$V_0(x_0, y_0) = -\tilde{v}_0(\xi) h'_x, \quad \xi = \frac{y}{h(x)}, \quad \psi_0 = \tilde{\psi}_0(\xi), \quad -\frac{1}{\alpha} \frac{dz_0}{dx} = \frac{\tilde{c}_1}{h^2} + \frac{\tilde{c}_2}{h^3}, \quad (1.9)$$

$$h(x) = 1 + \eta x - \eta_1 \sin \omega x,$$

где  $\tilde{\psi}_0, \tilde{u}_0, \tilde{v}_0, z_0$  являются решением следующей задачи

$$\frac{d^3 \tilde{\psi}_0}{d\xi^3} = \tilde{c}_2, \quad \frac{d^2 \tilde{u}_0}{d\xi^2} = \tilde{c}_1, \quad \frac{d\tilde{v}_0}{d\xi} + \frac{d\tilde{u}_0}{d\xi} = 0 \quad (1.10)$$

$$\frac{d\tilde{\psi}_0}{d\xi} = 0, \quad \text{при} \quad \xi = 0, \quad \xi = 1; \quad \tilde{u}_0 = 0, \quad \tilde{v}_0 = 0 \quad \text{при} \quad \xi = 1; \quad (1.11)$$

$$\tilde{u}_0 = 1, \quad \tilde{v}_0 = 0 \quad \text{при} \quad \xi = 0; \quad \int_0^1 \tilde{u}_0(\xi) d\xi = 0,$$

$$\text{где} \quad \tilde{c}_1 = 6, \quad \tilde{c}_2 \quad \text{определяется из условия} \quad z(0) = z(1) = e^{-\alpha \frac{p_a}{p^*}}.$$

Решение системы уравнений (1.10)-(1.11) найдем непосредственным интегрированием. В результате будем иметь

$$\tilde{\psi}_0 = \frac{\tilde{c}_1}{2} (\xi^2 - \xi), \quad \tilde{u}_0 = \tilde{c}_1 \frac{\xi^2}{2} - \left( \frac{\tilde{c}_1}{2} + 1 \right) \xi + 1,$$

$$z_0 = -\alpha \tilde{c}_1 \frac{\eta}{2} (x^2 - x) - \frac{\alpha \eta_1 \tilde{c}_1}{\omega} (\cos \omega x - 1) + \frac{\alpha \eta_1 \tilde{c}_1}{\omega} (\cos \omega - 1) x + e^{-\alpha \frac{p_a}{p^*}}, \quad (1.12)$$

$$\tilde{c}_2 = -\tilde{c}_1 \left[ 1 + \frac{\eta}{2} + \frac{\eta_1}{\omega} (\cos \omega - 1) \right]$$

Приведем системе уравнений и граничных условий к ним для первого приближения:

$$\frac{\partial^2 u_1}{\partial y^2} + N^2 \frac{\partial v_1}{\partial y} = -\frac{1}{\alpha} \frac{dz_1}{dx}, \quad \frac{\partial u_1}{\partial x} + \frac{\partial v_1}{\partial y} = 0, \quad \frac{\partial^2 v_1}{\partial y^2} = \frac{\partial u_0}{\partial y}. \quad (1.13)$$

$$\begin{aligned}
u_1 = 0, \quad v_1 = 0, \quad v_1 = 0 \quad \text{при} \quad y = 0, \\
u_1 = 0, \quad v_1 = 0, \quad v = 0 \quad \text{при} \quad y = h(x); \\
z_1(0) = z_1(1) = 0.
\end{aligned} \tag{1.14}$$

После необходимых вычислений решение задачи запишется в виде

$$\begin{aligned}
v_1 &= \left( \frac{\tilde{c}_2}{h^3} + \frac{6}{h^2} \right) \frac{y^3}{6} - \left( \frac{\tilde{c}_2}{2h^2} + \frac{4}{h} \right) \frac{y^2}{2} + \left( \frac{\tilde{c}_2}{12h} + 1 \right) y \\
u_1 &= -N^2 \left( \frac{\tilde{c}_2}{h^3} + \frac{6}{h^2} \right) \frac{y^4}{24} - \left( \frac{\tilde{c}_2}{2h^2} + \frac{4}{h} \right) \frac{y^3}{2} + \left( \frac{\tilde{c}_2}{12h} + 1 \right) \frac{y^2}{2} - \frac{1}{\alpha} \frac{dz_1}{dx} \frac{y^2}{2} + \\
&+ \left( N^2 \frac{h}{12} + \frac{1}{\alpha} \frac{dz_1}{dx} \frac{h}{2} \right) y,
\end{aligned} \tag{1.15}$$

$$Q_1 = \frac{5N^2}{24 \left( 1 - \frac{3}{2} \eta - \frac{3\eta_1}{\omega} (\cos \omega - 1) \right)},$$

$$z_1 = \frac{37\alpha N^2}{10\omega} \left[ -2\eta_1 - \eta\omega x - \eta\omega x^2 + 2\eta_1 \cos \omega x - 2\eta_1 \omega (\cos \omega - 1)x \right],$$

где  $Q_1$  - добавочный безразмерный расход, обусловленный микрополяльными свойствами смазочной жидкости.

Для определения гидродинамического давления имеем

$$z_0 + \frac{1}{N_1} z_1 = e^{-\alpha p} \tag{1.16}$$

Воспользуемся асимптотическим разложением функции  $e^{-\alpha p}$  в

принятом нами приближении  $O(\alpha^3)$ ,  $O\left(\alpha^2 \frac{1}{N_1}\right)$ , получим следующее выражение

$$p = \frac{p_a}{p^*} - \Phi \left[ 1 + \alpha \left( \frac{p_a}{p^*} \right) - \frac{\alpha^2}{2} \left( \frac{p_a}{p^*} \right)^2 \right] \tag{1.17}$$

$$\begin{aligned}
\Phi &= 3\eta(x^2 - x) + \frac{6\eta_1}{\omega} (\cos \omega x - 1) - \frac{6\eta_1 x}{\omega} (\cos \omega - 1) + \\
&+ \frac{37N^2}{10\omega N_1} \left[ -2\eta_1 - \eta\omega x + \eta\omega x^2 + 2\eta_1 \cos \omega x - 2\eta_1 \omega (\cos \omega - 1)x \right]
\end{aligned} \tag{2.6.18}$$

где

Используя (1.17) и (1.18), для безразмерной несущей способности будем иметь

$$W = \left[ 1 + \alpha \left( \frac{p_a}{p^*} \right) - \frac{\alpha^2}{2} \left( \frac{p_a}{p^*} \right)^2 \right] \left\{ \frac{\eta}{2} + \eta_1 \left( \frac{3}{\omega} - \frac{6 \sin \omega}{\omega^2} + \frac{3 \sin \omega}{\omega} \right) + \right. \\ \left. + \frac{37N^2}{10\omega N_1} \left[ \frac{\eta\omega}{6} + \eta_1 \left( 2 - \frac{2 \sin \omega}{\omega} + \frac{\omega \sin \omega}{2} - \omega \right) \right] \right\} \quad (1.19)$$

Приведем результаты численного анализа (рис. 1.2-1.3) найденного аналитического выражения для несущей способности подшипника:

1. Несущая способность подшипника существенно зависит от параметров микрополярного смазочного материала  $N$  и  $N_1$ , а также от параметра  $\alpha$ , обусловленного зависимостью вязкостных характеристик от давления.

2. С увеличением значений параметра  $N$  несущая способность подшипника возрастает.

3. С увеличением значений параметра  $N_1$  несущая способность подшипника снижается. При  $N_1 \rightarrow \infty$  значение несущей способности стремится к соответствующему значению несущей способности для случая ньютоновского смазочного материала.

4. С увеличением значений параметра  $\alpha$  несущая способность подшипника возрастает. При значении  $\alpha \approx 0,4$  в зависимости несущей способности от  $\alpha$  наблюдается ярко выраженный максимум.

5. Наиболее рациональными по несущей способности являются значения параметров  $N^2 \approx 0,95$ ;  $\alpha \in [0,4; 0,5]$ .

6. При значении параметра  $\omega$  близком к  $\frac{3}{2}\pi$  рассматриваемый радиальный подшипник (по сравнению с  $\omega = 0$ ) обладает свойством подшипника, так называемого, «двойного действия», по несущей способности.

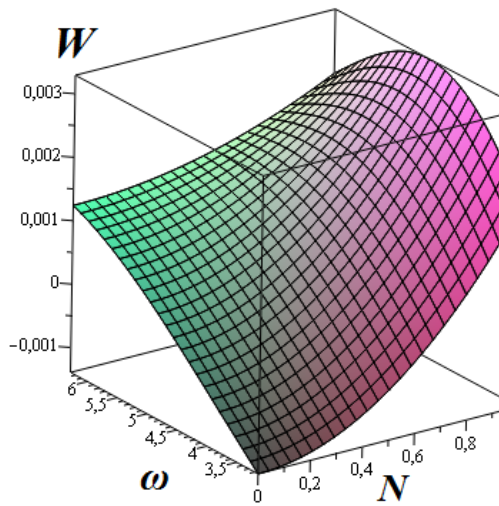


Рис. 1.2. Зависимость безразмерной несущей способности упорного подшипника от параметров  $N$  и  $\omega$  (при учет зависимости вязкости от давления).

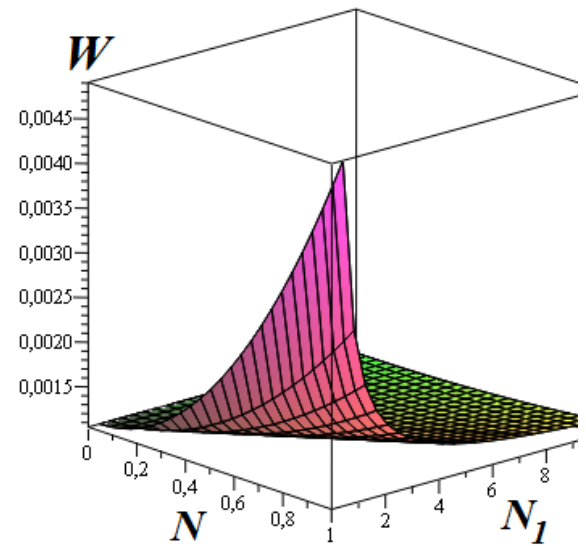


Рис. 1.3. Зависимость безразмерной несущей способности упорного подшипника от параметров  $N$  и  $N_1$  (при учет зависимости вязкости от давления).

Рассмотрим теперь расчетную модель упорного подшипника повышенной несущей способности, работающего на вязкоупругой смазке с учетом зависимости ее характеристик от давления (задача 2).

**1. Постановка задачи 2.** Рассматривается установившееся движение смазки, обладающей вязкоупругими свойствами, между направляющей и ползуном. Предполагается, что ползун неподвижен, а направляющая движется со скоростью  $u^*$  по направлению оси  $Ox'$ . Также предполагается, что зависимость вязкости и модуля сдвига давления выражаются формулами

$$\mu' = \mu_0 e^{\tilde{\alpha} p'}, \quad G' = G_0 e^{\tilde{\alpha} p'}, \quad (2.1)$$

где  $\mu_0$  – характерная вязкость;  $G_0$  – характерное значение модуля сдвига;  $\mu'$  – динамический коэффициент вязкости;  $p'$  – гидродинамическое давление;  $\tilde{\alpha}$  – экспериментальная постоянная величина.

В декартовой системе координат  $x'Oy'$  уравнение контуров направляющей и ползуна можно записать в виде:

$$y' = 0, \quad y' = h_0 + x' \operatorname{tg} \alpha - a \sin \omega' x' \quad (2.2)$$

Здесь  $\alpha$  – угол наклона ползуна с линейным контуром к оси  $Ox'$ ;  $l \frac{\operatorname{tg} \alpha}{h_0}$  и  $\frac{a}{h_0}$  – малые безразмерные величины одного порядка;  $h_0$  – толщина пленки в начальном сечении;  $\omega = \omega' l$  – подлежит определению.

В дальнейшем для решения рассматриваемой задачи сделаем следующие общепринятые допущения:

1. В качестве смазочного материала рассмотрим неньютоновскую жидкость вместо ньютоновской смазки.
2. Давление  $p'$  постоянно по толщине пленки, заданной уравнением (2.2).
3. Характеристики применяемой максвелловской жидкости выражаются следующим уравнением [7-9]

$$\frac{\partial v'_x}{\partial y'} = \frac{\tau'}{\mu'} + \frac{1}{G'} \frac{\partial \tau'}{\partial t'} \quad (2.3)$$

В случае установившихся условий производную  $\frac{\partial \tau'}{\partial t'}$ , фигурирующую в уравнении (2.3), можно заменить производной  $u^* \frac{\partial \tau'}{\partial x'}$ . Следовательно, характеристики потока приближенно выражаются уравнением

$$\frac{\partial v'_x}{\partial y'} = \frac{\tau'}{j\mu'} + \frac{u^*}{G'} \frac{\partial \tau'}{\partial x'}, \quad (2.4)$$

в котором  $u^*$  – скорость движения направляющей,  $\tau'$  – касательное напряжение.

## 2. Основные уравнения и граничные условия задачи 2

В рамках приведенных допущений уравнение равновесия жидкостного элемента, расположенного между поверхностями упорного подшипника, записывается в виде



$$\frac{\partial \tau'}{\partial y'} = \frac{dP'}{dx'}, \quad (2.5)$$

где  $P'$  – гидродинамическое давление.

После интегрирования вышеуказанного уравнения, получим

$$\tau' = \frac{dP'}{dx'} y' + c'(x')$$

Запишем градиент скорости для максвелловской жидкости с характеристиками потока (2.4)

$$\frac{\partial v'_{x'}}{\partial y'} = \frac{1}{\mu'} \left( \frac{dP'}{dx'} y' + c'(x') \right) + \frac{u^*}{G'} \left( \frac{d^2 P'}{dx'^2} y' + \frac{dc'}{dx'} \right), \quad (2.6)$$

Продифференцируем обе части уравнения (2.6) по  $y'$ , тогда получим

$$\frac{\partial^2 v'_{x'}}{\partial y'^2} = \frac{1}{\mu'} \frac{dP'}{dx'} + \frac{u^*}{G'} \frac{d^2 P'}{dx'^2}, \quad (2.7)$$

В качестве исходных уравнений рассмотрим уравнение неразрывности и уравнение (2.7)

$$\frac{\partial v'_{y'}}{\partial y'} + \frac{\partial v'_{x'}}{\partial x'} = 0 \quad (2.8)$$

Осуществим переход к безразмерным переменным:

$$\begin{aligned} x' = Lx, \quad y' = h_0 y, \quad v'_{x'} = u^* v, \quad v'_{y'} = u^* \varepsilon u, \quad \varepsilon = \frac{h_1}{L}, \quad \mu' = \mu_0 \mu, \\ T' = T_0 T, \quad P' = p^* p, \quad p^* = \frac{\mu_0 u^* L}{h_1^2}, \quad c' = c^* c, \quad c^* = \frac{u^* \mu_0}{h_1} \end{aligned} \quad (2.9)$$

где  $L$  – длина ползуна;  $h_0$  – толщина пленки в начальном сечении.

Подставляя (2.9) в (2.7) и (2.8), получим:

$$\frac{d^2 v}{dy^2} = \frac{1}{\mu} \frac{dp}{dx} + \frac{\beta}{\mu} \frac{d^2 p}{dx^2}, \quad (2.10)$$

$$\frac{\partial u}{\partial y} + \frac{\partial v}{\partial x} = 0, \quad (2.11)$$

где  $\beta = \frac{\mu_0 u^*}{GL}$  – число Дебора.

$$h(x) = e^{-\gamma x}, \quad \gamma = \alpha L.$$

Выпишем граничные условия для решения системы дифференциальных уравнений (2.10) и (2.11), определяющие прилипание смазочного материала к поверхности ползуна

$$u = 0, \quad v = 0 \quad \text{при} \quad y = h(x) = 1 + \eta x - \eta_1 \sin \omega x, \quad \eta = \frac{L \operatorname{tg} \alpha}{h_0}, \quad \eta_1 = \frac{a}{h_0}, \quad \omega = \omega' L.$$

прилипание смазочного материала к направляющей поверхности

$$u = 0, \quad v = 1 \quad \text{при} \quad y = 0.$$

условия, накладываемые на давление на торцах упорного подшипника

$$p(0) = 0 \quad \text{при} \quad x = 0, \quad x = 1. \quad (2.12)$$

Запишем дополнительные граничные условия, учитывающие случай поступления смазки в упорный подшипник при отсутствии в деформации упругого компонента

$$\frac{dc}{dx} = 0, \quad \frac{d^2 p}{dx^2} = 0 \quad \text{при} \quad x = 0. \quad (2.13)$$

Введем допущение, описывающее случай, когда смазочный материал, находясь в ненапряженном состоянии, подвергается внезапному сдвигу с заданной скоростью в момент подачи смазки в подшипник

$$\tilde{c} = 0 \quad \text{при} \quad x = 0,$$

откуда следует

$$c = 0, \quad \frac{dp}{dx} = 0 \quad \text{при} \quad x = 0 \quad (2.14)$$

### 3. Точное автомодельное решение задачи 2.

Для системы дифференциальных уравнений (2.10) – (2.11), запишем в явном виде автомодельное решение с учетом граничных условий (2.12) – (2.14)

$$u = -\frac{\partial \psi}{\partial x} + U(x, y), \quad v = \frac{\partial \psi}{\partial y} + V(x, y), \quad \frac{1}{\mu} \frac{dp}{dx} + \frac{\beta}{\mu} \frac{d^2 p}{dx^2} = \frac{\tilde{c}_1}{h^2(x)} + \frac{\tilde{c}_2}{h^3(x)}, \quad (2.15)$$

$$\psi = \tilde{\psi}(\xi), \quad V(x, y) = \tilde{v}(\xi), \quad U(x, y) = \tilde{u}(\xi) \cdot h'(x), \quad \xi = \frac{y}{h(x)}.$$

Подставим (2.15) в (2.10) и (2.11), получим

$$\tilde{\psi}''' = \tilde{c}_2, \quad \tilde{v}'' = \tilde{c}_1, \quad \tilde{u}' - \xi \tilde{v}' = 0, \quad (2.16)$$

$$\tilde{\psi}'(0) = 0, \quad \tilde{v}(0) = 1, \quad \tilde{u}(0) = 0, \quad \tilde{\psi}'(1) = 0, \quad \tilde{v}(1) = 1, \quad \tilde{u}(1) = 0, \quad \int_0^1 \tilde{v} d\xi = 0. \quad (2.17)$$

Решение системы уравнений (2.16) – (2.17) находится непосредственным интегрированием. В результате после необходимых исследований имеем:

$$\tilde{\psi}' = \tilde{c}_2 \frac{\xi^2}{2} + c_1 \xi + c_2, \quad \tilde{v} = \tilde{c}_1 \frac{\xi^2}{2} + c_3 \xi + c_4, \quad \tilde{u} = \int_0^\xi \xi \tilde{v}'(\xi) d\xi.$$

$$\text{где } \tilde{c}_1 = 6, \quad c_2 = 0, \quad c_3 = -4, \quad c_4 = -\frac{\tilde{c}_2}{2}.$$

#### 4 Определение гидродинамического давления в смазочном слое задача 2.

Для определения безразмерного гидродинамического давления в смазочном слое используем уравнение

$$\beta \frac{d^2 p}{dx^2} + \frac{1}{\mu} \frac{dp}{dx} = \frac{\tilde{c}_1}{h^2} + \frac{\tilde{c}_2}{h^3}. \quad (2.18)$$

Введем обозначение

$$Z = e^{-\alpha p} \frac{dp}{dx}. \quad (2.19)$$

С учетом (2.19) с точностью до членов  $O(\alpha\beta)$  уравнение (2.18) примет вид

$$\beta \frac{d^2 Z}{dx^2} + \frac{dZ}{dx} = -\alpha \left( \frac{\tilde{c}_1}{h^2(x)} + \frac{\tilde{c}_2}{h^3(x)} \right) \quad (2.20)$$

Решение системы (2.9), удовлетворяющее граничным условиям (2.12) и (2.13) можно записать в виде

$$Z = -\frac{\alpha \tilde{c}_1}{\beta} \tilde{J}_2(x) - \frac{\alpha \tilde{c}_2}{\beta} \tilde{J}_3(x) - \beta A \left( e^{-\frac{x}{\beta}} - 1 \right) + e^{-\frac{p_a}{p^*}} = -\alpha F(x) + e^{-\frac{p_g}{p^*}},$$

$$\text{где } \tilde{c}_2 = -\frac{A}{\alpha} - \tilde{c}_1, \quad A = \frac{\tilde{c}_1 \alpha (\tilde{J}_2(1) - \tilde{J}_3(1))}{J_3(1) + \beta^2 - \beta^2 e^{-1/\beta}}, \quad (2.21)$$

$$\tilde{J}_k(x) = \int_0^x e^{-\frac{x}{\beta}} J_k(x) dx, \quad J_k(x) = \int_0^x \frac{e^{-\frac{x}{\beta}}}{h^k(x)} dx.$$

Вспользуемся аналитическими разложениями функций  $e^{-\alpha p}$  и  $e^{-\frac{p_a}{p^*}}$ . С точностью до членов  $O(\alpha^2)$  включительно получим алгебраическое уравнение для нахождения безразмерного параметра  $p$

$$\alpha p^2 - 2p + 2\frac{p_a}{p^*} - \alpha \left( \frac{p_a}{p^*} \right)^2 + 2F(x) = 0 \quad (2.22)$$

Решая уравнение (2.22), с точностью до членов  $O(\alpha^2 F^2(x))$ ,  $O\left(\alpha^3 \left(\frac{p_a}{p^*}\right)^2\right)$  получим следующее выражение

$$p = \frac{p_a}{p^*} + F(x) \left( 1 + \frac{p_a}{p^*} \alpha - \frac{1}{2} \frac{p_a^2}{p^{*2}} \alpha^2 \right) \quad (2.23)$$

При вычислении интегралов, входящих в формулы (2.21), воспользуемся асимптотическим разложением функции  $\frac{1}{1 + \eta x - \eta_1 \sin \omega x}$

$$\frac{1}{1 + \eta x - \eta_1 \sin \omega x} = 1 + \eta x - \eta_1 \sin \omega x + (\eta_1 \sin \omega x - \eta x)^2 + \dots$$

С точностью до членов  $O(\eta^2)$ ,  $O(\eta_1^2)$  для  $Z$  после необходимых вычислений получим следующее выражение

$$\begin{aligned}
Z = e^{-\alpha \frac{p_a}{p^*}} - \frac{2 \left[ \beta \left( \Delta_6 \Delta_3 - \Delta_4 - \Delta_6 e^{-1/\beta} + \Delta_2 e^{-1/\beta} \right) - \Delta_1 \Delta_4 + \Delta_3 \Delta_2 \right]}{\beta + \Delta_1 - \beta e^{-1/\beta} - \Delta_3} + \\
+ \frac{\alpha \beta (\Delta_2 + \Delta_6 \Delta_3 - \Delta_6 \Delta_1 - \Delta_4)}{\beta + \Delta_1 - \beta e^{-1/\beta} - \Delta_3} \cdot e^{-\frac{x}{\beta}} - \\
- \alpha \frac{\Delta_4 - \Delta_2 - \beta \Delta_6 \left( 1 - e^{1/\beta} \right)}{\beta + \Delta_1 - \beta e^{-1/\beta} - \Delta_3} \cdot \left( x + 3\beta \eta x - \frac{3}{2} \eta x^2 - \frac{3\eta \omega \beta}{\omega^2 \beta^2 + 1} \cdot \sin \omega x - \frac{3\eta_1}{\omega^2 \beta^2 + 1} \cdot \cos \omega x \right) - \\
- \alpha \left( 6\eta x + 12\beta \eta x - 6\eta x^2 - \frac{12\eta_1 \omega \beta}{\omega^2 \beta^2 + 1} \cdot \sin \omega x - \frac{12\eta_1}{\omega^2 \beta^2 + 1} \cdot \cos \omega x \right) = e^{-\alpha \frac{p_a}{p^*}} - \alpha \Phi(x)
\end{aligned} \tag{2.24}$$

где

$$\begin{aligned}
\Delta_1 = -\frac{3\eta_1}{\gamma}, \quad \Delta_2 = \frac{12\eta_1}{\gamma}, \quad \gamma = \omega^2 \beta^2 + 1, \quad \Delta_3 = 1 + 3\beta \eta - \frac{3}{2} \eta - \frac{3\eta \beta \omega}{\gamma} \cdot \sin \omega - \frac{3\eta_1}{\gamma} \cdot \cos \omega, \\
\Delta_4 = 6 + 12\beta \eta - 6\eta - \frac{12\eta_1 \beta \omega}{\gamma} \cdot \sin \omega - \frac{12\eta_1}{\gamma} \cdot \cos \omega, \quad \Delta_5 = 1 - 3\beta \eta - \frac{3\eta \beta \omega^2}{\gamma}, \\
\Delta_6 = 6 - 12\beta \eta - \frac{12\eta_1 \beta \omega^2}{\gamma}
\end{aligned}$$

Для безразмерного гидродинамического давления в рассматриваемом случае получим выражение аналогичное (2.23)

$$p = \frac{p_a}{p^*} + \Phi(x) \left( 1 + \frac{p_a}{p^*} \alpha - \frac{1}{2} \frac{p_a^2}{p^{*2}} \alpha^2 \right) \tag{2.25}$$

С учетом (2.25) для поддерживающей силы будем иметь

$$w = p^* \int_0^1 \left( p - \frac{p_a}{p^*} \right) dx \tag{2.26}$$

Сила трения определяется выражением

$$L_{\text{од}} = \frac{\mu_0 u^*}{h_0} \int_0^1 \left( \frac{\tilde{\psi}''(0)}{h^2} + \frac{\tilde{v}'(0)}{h} \right) e^{\alpha p} dx \tag{2.27}$$

Результаты численного анализа, приведенные при различных значениях параметра  $\beta^{-1}$ , показывают, что:

1. В случае вязкоупругой смазки имеет место уменьшение несущей способности подшипника, работающего в стационарном режиме трения по сравнению с этим показателем для ньютоновской смазки.

2. В случае стационарного режима с увеличением значений параметра  $\beta = 0,2$  несущая способность резко уменьшается, при значении параметра  $\beta = 0,6$  несущая способность стабилизируется.

3. С увеличением значений параметра  $\alpha$  несущая способность подшипника возрастает.

4. При значении параметра  $\omega$  близком к 0,5 рассматриваемый радиальный подшипник (по сравнению с  $\omega = 0$ ) обладает свойством подшипника, так называемого, «двойного действия», по несущей способности.

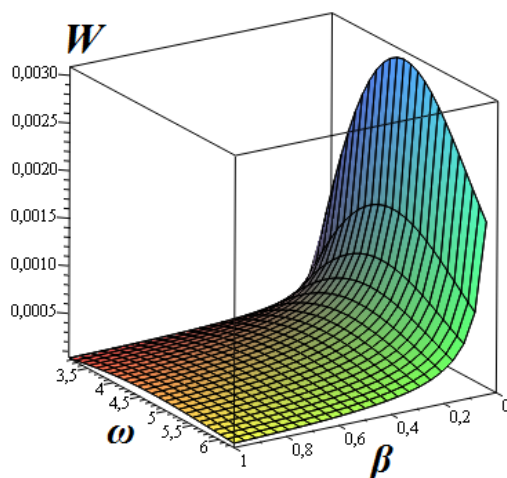


Рис. 2.1. Зависимость безразмерной несущей способности упорного подшипника от параметров  $\omega$  и  $\beta^{-1}$  при учет зависимости вязкости от давления.

## Литература:

1. Мигун, Н.П., Гидродинамика и теплообмен градиентных течений микроструктурной жидкости / Н.П. Прохоренко // Наука и техника. - 1984. – 264 с.
2. Типей, Н. Анализ смазки подшипников микрополярными жидкостями и его применение к коротким подшипникам / Н. Типей // Проблемы трения и смазки. – 1979. – № 3. – С. 122–131.
3. Allen, S. Y., Lubrication theory for micropolar fluids / S.Y. Allen, K.A. Kline// Trans. Asme, 1971. – V. E38. – No 4. – P. 646–656.
4. Вовк, А.Ю., Математическая модель прогнозирования значений безразмерных критериев микрополярной смазки, обеспечивающих рациональный режим работы упорного подшипника скольжения / А.Ю. Вовк, М.А. Савенкова// Труды РГУПС. – 2006. – № 2. – С. 29–34.
5. Ахвердиев, К.С., Математическая модель гидродинамической смазки бесконечно широких опор, работающих в турбулентном режиме на микрополярной смазке / К.С. Ахвердиев, А.Ю. Вовк, М.А. Мукутадзе, М.А. Савенкова // Трение и смазка в машинах и механизмах.– 2007.– № 9. – С. 12 – 15.
6. Эркенов, А.Ч. Гидродинамический расчет радиального подшипника, близкого к круговому, работающего на микрополярной смазке / А.Ю. Вовк, И.С. Семенко, В.А. Константинов // Вестник РУПС. – 2009. – № 1. – С. 148–152.
7. Ахвердиев, К.С. Установившееся движение вязкоупругой жидкости между наклонным ползуном и направляющей с учетом сил инерции смазочной композиции / К.С. Ахвердиев, И.А. Журба // Трение и износ. – 2004. – Т. 25. – №6. – С. 567-576.
8. Ахвердиев, К.С., Об устойчивости движения направляющей при неустановившемся течении вязкоупругой смазки в системе «ползун – направляющая» / К.С. Ахвердиев, И.А. Журба // Вестник РГУПС. – 2005.– №1. – С. 5–11.

9. Ахвердиев, К.С., Гидродинамический расчет подшипников скольжения с учетом сил инерции смазочной жидкости, обладающей вязкоупругими свойствами / К.С. Ахвердиев, М.В. Яковлев, И.А. Журба // Трение и износ.– 2003. – Т. 24. – №2. – С. 121–125.

10. Уилкок, Д.Ф. «Расчет упорных подшипников с эффективной работой в турбулентном режиме» /Д.Ф. Уилкок // Проблемы трения и смазки: Труды Американского общества инженеров-механиков. – 1977. – № 1. –С. 118–126.

11. Дерлугян Ф.П., Щербаков И.Н. Обоснование процесса получения композиционных антифрикционных самосмазывающихся материалов с заданными техническими характеристиками методом химического наноконструирования. [Электронный ресурс] // «Инженерный вестник Дона», 2010 г., №4 – Режим доступа: <http://ivdon.ru/magazine/archive/n4y2010/287> (доступ свободный) – Загл. с экрана. – Яз. рус.

12. Reynolds, O. On the theory of lubrication and its application to Mr. Beauchamp Tower's experiments / O. Reynolds. – Phil. Trans. Roy. Soc. London, 1886, vol. 177, pt. 1.

13. Мукутадзе М.А., Расчетная модель гидродинамической смазки неоднородного пористого подшипника конечной длины, работающего в устойчивом нестационарном режиме трения при наличии принудительной подачи смазки [Электронный ресурс] / Флек Б.М., Задорожная Н.С., Поляков Е.В., Мукутадзе А.М.// «Инженерный вестник Дона», 2013 г., №3 – Режим доступа: <http://ivdon.ru/magazine/archive/n3y2013/1765> (доступ свободный) – Загл. с экрана. – Яз. рус.